



Laboratorium Badań Środowiskowych
ul. Józefa Piusa Dziekońskiego 3
00-728 Warszawa
e-mail: Laboratorium@networks.pl



AB 419

S P R A W O Z D A N I E 1210/2022/OS
Z POMIARÓW PÓL ELEKTROMAGNETYCZNYCH
WYKONANYCH DLA POTRZEB OCHRONY ŚRODOWISKA

Badany obiekt: Instalacja radiokomunikacyjna Orange Polska S.A.
Numer i nazwa: 2842 (24103N!) TARLOW (KTB_TARLOW_TARLOW)
Adres: WÓLKA TARŁOWSKA DZ.63, Powiat opatowski, WOJ. ŚWIĘTOKRZYSKIE

Data wykonania pomiarów: 2022-06-29

Sprawozdanie z badań bez pisemnej zgody laboratorium nie może być powielane inaczej niż w całości.
Wynik przedstawione w niniejszym sprawozdaniu odnoszą się wyłącznie do badanego obiektu i do warunków i konfiguracji urządzeń w dniu wykonywania pomiarów.

1. Właściciel badanego obiektu:

Orange Polska S.A., Al. Jerozolimskie 160, 02-326 Warszawa

2. Zleceniodawca:

Orange Polska S.A., Al. Jerozolimskie 160, 02-326 Warszawa

3. Przedstawiciel zleceniodawcy:

NetWorkS! Sp.z o.o.

4. Zakres zlecenia:

Wykonanie badania i opracowanie sprawozdania z pomiarów natężenia pola elektrycznego i pola magnetycznego dla instalacji radiokomunikacyjnej Orange Polska S.A. zlokalizowanej w miejscowości WÓLKA TARŁOWSKA DZ.63.

5. Cel zlecenia:

Wykonanie pomiarów pól elektromagnetycznych w otoczeniu instalacji radiokomunikacyjnej 2842 (24103N!) TARLOW (KTB_TARLOW_TARLOW) w odniesieniu do wymagań określonych w *Rozporządzeniu Ministra Klimatu z dnia 17 lutego 2020 r. w sprawie sposobów sprawdzania dotrzymania dopuszczalnych poziomów pól elektromagnetycznych w środowisku* (Dz. U. 2020, poz. 258 z późn. zm. w Dz.U. 2022 poz. 1121).

6. Pomiary zostały wykonane przez:

Stanilewicz Tomasz
Głowacki Konrad

7. Informacje o źródłach pól elektromagnetycznych

7.1. Sposób identyfikacji badanych źródeł pól elektromagnetycznych

Identyfikacji źródeł i parametrów technicznych dokonano na podstawie analizy dokumentacji dotyczącej zlecenia oraz obserwacji miejsca wykonywania badań.

7.2. Opis miejsca zainstalowania anten i urządzeń technicznych. Opis obiektu badań i jego otoczenia

Instalacja radiokomunikacyjna zlokalizowana jest na terenie ogrodzonym. Anteny zawieszono na wieży kratowej. Urządzenia sterujące oraz zasilające zainstalowano w kontenerze u podstawy wieży. Wokół instalacji znajdują się tereny rolnicze.

Instalacja radiokomunikacyjna jest obiektem bezobsługowym. Okresowe stanowiska pracy związane są z prowadzonymi w zależności od potrzeb konserwacjami, przeglądami, strojeniem i naprawami.

7.3. Parametry techniczne źródła pola elektromagnetycznego

Dane przedstawiające maksymalne parametry pracy instalacji przekazane przez zleceniodawcę:

Parametry systemu nadawczo-odbiorczego:

| Charakterystyka promieniowania | | kierunkowa | | | | | |
|---------------------------------|--|----------------------|--------------|------------|---------------------|---|--|
| Rzeczywisty czas pracy [h/dobę] | | 24 | | | | | |
| Warunki pracy | | znamionowe | | | | | |
| Rodzaj wytwarzanego pola | | stacjonarne | | | | | |
| Lp. | Częstotliwość lub zakresy częstotliwości pracy [MHz] | Typ/producent anteny | liczba anten | Azymut [°] | kąt pochylenia* [°] | Wysokość środka elektrycznego anteny [m n.p.t.] | Równoważna moc promieniowana izotropowo (EIRP) [W] |
| 1 | 800/900 | 80010306v02 Kathrein | 1 | 30 | 4/4 | 49 | 8531 |
| 2 | 1800/2100 | 80010510v01 Kathrein | 1 | 30 | 6/6 | 49 | 9172 |
| 3 | 800/900 | 80010306v02 Kathrein | 1 | 150 | 3/3 | 49 | 8531 |
| 4 | 1800/2100 | 80010510v01 Kathrein | 1 | 150 | 6/6 | 49 | 9172 |
| 5 | 800/900 | 80010306v02 Kathrein | 1 | 270 | 3/3 | 49 | 8531 |
| 6 | 1800/2100 | 80010510v01 Kathrein | 1 | 270 | 6/6 | 49 | 9172 |

* wskazane wartości kąta pochylenia anten, zgodnie z informacją uzyskaną od zleceniodawcy, są wartościami stałymi

Parametry radiolinii:

| Charakterystyka promieniowania | | | | kierunkowa | | | |
|---------------------------------|--------------------------------|---------------------------|--|------------------|---------------------|------------|-----------------------------------|
| Rzeczywisty czas pracy [h/dobę] | | | | 24 | | | |
| Warunki pracy | | | | znamionowe | | | |
| Rodzaj wytwarzanego pola | | | | stacjonarne | | | |
| Lp. | Linia radiowa | | | Antena | | | |
| | Typ/ Producent | Częstotliwość pracy [GHz] | Równoważna moc promieniowana izotropowo (EIRP) [W] | Typ/ producent | Średnica anteny [m] | Azymut [°] | Wysokość zainstalowania n.p.t [m] |
| 1. | RTN XMC-2 13G/2+0/56MHz Huawei | 13 | 2405 | VHLPX2-13 Andrew | 0.6 | 277 | 46 |

7.4 Inne źródła pól elektromagnetycznych

Na podstawie informacji otrzymanych od użytkownika oraz obserwacji otoczenia miejsca wykonywania pomiarów nie stwierdzono występowania innych źródeł pola-EM

8. Opis pomiarów

8.1. Metoda badań

Zgodna z rozporządzeniem Ministra Klimatu z dnia 17 lutego 2020 r. w sprawie sposobów sprawdzania dotrzymania dopuszczalnych poziomów pól elektromagnetycznych w środowisku (Dz. U. 2020, poz. 258 z późn. zm. w Dz.U. 2022 poz. 1121), określona w pkt 25 ppkt 1 załącznika do niniejszego rozporządzenia.

Zgodnie z art. 122a ust. 1b ustawy Prawo Ochrony Środowiska, w przypadku wprowadzenia na części albo całym terytorium Rzeczypospolitej Polskiej stanu nadzwyczajnego, o którym mowa w art. 228 ust. 1 Konstytucji Rzeczypospolitej Polskiej z dnia 2 kwietnia 1997 r. (Dz. U. poz. 483, z 2001 r. poz. 319, z 2006 r. poz. 1471 oraz z 2009 r. poz. 946), lub stanu zagrożenia epidemicznego lub stanu epidemii, o których mowa w art. 46 ustawy z dnia 5 grudnia 2008 r. o

Sprawozdanie z badań bez pisemnej zgody laboratorium nie może być powielane inaczej niż w całości.
Wynik przedstawione w niniejszym sprawozdaniu odnoszą się wyłącznie do badanego obiektu i do warunków i konfiguracji urządzeń w dniu wykonywania pomiarów.

zapobieganiu oraz zwalczaniu zakażeń i chorób zakaźnych u ludzi (Dz. U. z 2019 r. poz. 1239, z późn. zm.8)), pomiarów , nie przeprowadza się w lokalach mieszkalnych oraz w lokalach użytkowych zlokalizowanych na terytorium objętym stanem nadzwyczajnym, stanem zagrożenia epidemicznego lub stanem epidemii.

W związku z obecnie obowiązującym stanem zagrożenia epidemicznego, pomiarów nie wykonano w lokalach mieszkalnych oraz w lokalach użytkowych zlokalizowanych w obszarze pomiarowym przedmiotowej instalacji radiokomunikacyjnej.

8.2. Termin pomiarów i warunki środowiskowe

Podczas wykonywania pomiarów pól elektromagnetycznych nie występowały opady atmosferyczne. Wyniki pomiaru parametrów pogodowych przedstawia poniższa tabela:

| Data [rrrr-mm-dd] | Godzina [hh:mm-hh:mm] | Warunki środowiskowe | | | |
|----------------------|--------------------------|----------------------|--------------|-------------------------|--------------|
| | | Temperatura [°C] | | Wilgotność względna [%] | |
| | | Przed pomiarem | Po pomiarach | Przed pomiarem | Po pomiarach |
| 2022-06-29 | 19:05-20:15 | 30.0 | 28.0 | 50.0 | 58.0 |

Przedstawione wyżej warunki środowiskowe, występujące podczas wykonywania pomiarów pól elektromagnetycznych, są zgodne ze specyfikacją techniczną użytego zestawu pomiarowego.

8.3. Warunki pracy urządzeń nadawczych

Podczas pomiarów w przypadku uzyskania wyniku pomiaru szerokopasmowego wykonanego zastosowaną metodą, dla zakresów częstotliwości od 10 MHz do 300 GHz, powiększonego o rozszerzoną niepewność pomiaru U dla współczynnika rozszerzenia $k = 2$ przekraczającego 70% najniższej dopuszczalnej wartości składowej elektrycznej lub magnetycznej pola dla objętych pomiarami zakresów częstotliwości, uwzględnia się poprawki pomiarowe przekazane przez zleceniodawcę, umożliwiające uwzględnienie maksymalnych parametrów pracy instalacji zgodnie z pkt 7 załącznika do Rozporządzenia Ministra Klimatu z dnia 17 lutego 2020 r. w sprawie sposobów sprawdzania dotrzymania dopuszczalnych poziomów pól elektromagnetycznych w środowisku (Dz. U. 2020, poz. 258 z późn. zm. w Dz.U. 2022 poz. 1121) zaznaczając, że wymagane jest wykonanie pomiaru z wykorzystaniem miernika selektywnego. W przypadku uzyskania wyniku pomiaru szerokopasmowego wykonanego zastosowaną metodą, dla zakresów częstotliwości od 10 MHz do 300 GHz, powiększonego o rozszerzoną niepewność pomiaru U dla współczynnika rozszerzenia $k = 2$ nieprzekraczającego 70% najniższej dopuszczalnej wartości składowej elektrycznej lub magnetycznej pola dla objętych pomiarami zakresów częstotliwości, nie uwzględnia się poprawek pomiarowych.

8.4. Wyposażenie pomiarowe

Zestaw pomiarowy służący do pomiaru natężenia składowej elektrycznej pola elektromagnetycznego złożony z szerokopasmowego miernika i sondy pomiarowej:

| Oznaczenie miernika | Producent | Model | Numer fabryczny | Oznaczenie sondy | Producent | Model | Numer fabryczny |
|---------------------|----------------------------|--|-----------------|------------------|----------------------------|--------------|-----------------|
| M-21 | Narda Safety Test Solution | Miernik pól elektromagnetycznych NBM-550 | H-0350 | S-23 | Narda Safety Test Solution | Sonda EF6092 | C-0115 |

Mierniki natężenia pola elektromagnetycznego podlegają okresowemu sprawdzeniu zgodnie z procedurą wewnętrzną P-03 i PB-01. Świadectwo wzorcowania zestawu pomiarowego z dnia 18 sierpnia 2020 o numerze LWiMP/W/239/20 wydane przez Laboratorium Wzorców i Metrologii Pola Elektromagnetycznego (LWiMP) Politechniki Wrocławskiej.
Data ważności świadectwa wzorcowania: 18 sierpnia 2022 (zgodnie z procedurą wewnętrzną P-03).

Termohigrometr:

| | | | | | |
|-------------|-------|------------|--------------------|--------|-----------------------|
| Oznaczenie: | TH-12 | Producent: | AZ INSTRUMENT CORP | Model: | Termohigrometr AZ8706 |
|-------------|-------|------------|--------------------|--------|-----------------------|

Data ważności świadectwa wzorcowania: 20 maja 2023 (zgodnie z procedurą wewnętrzną P-03).

Dalmierz:

| Oznaczenie | Producent | Typ | Numer seryjny | Nr świadectwa wzorcowania | Data świadectwa wzorcowania |
|------------|-----------|---------------------------|---------------|---------------------------|-----------------------------|
| D-11 | Leica | Dalmierz Leica Disto D510 | 1042957453 | 4609.22-M11-4180-1748/14 | 9 stycznia 2015 |

Data ważności świadectwa wzorcowania: 9 stycznia 2025 (zgodnie z procedurą wewnętrzną P-03).

Sprawozdanie z badań bez pisemnej zgody laboratorium nie może być powielane inaczej niż w całości.
Wynik przedstawione w niniejszym sprawozdaniu odnoszą się wyłącznie do badanego obiektu i do warunków i konfiguracji urządzeń w dniu wykonywania pomiarów.

9. Wyniki pomiarów

Pole elektryczne

| Nr pionu | Opis umiejscowienia pionu (punktu) pomiarowego | Wysokość pomiaru [m] | Zmierzona wartość natężenia pola elektrycznego E [V/m] ^{1,5} | Wartość natężenia pola elektrycznego powiększona o niepewność pomiaru ⁴ E [V/m] | Wskaźnikowa wartość poziomu emisji pól elektromagnetycznych WMe ³ | Współrzędne geograficzne pionu (punktu) pomiarowego ² |
|----------|---|----------------------|---|--|--|--|
| 1 | GKP w odległości 10m od anteny sektorowej az. 30° | 0.3-2.0 | <1.0* | 1.6 | 0.06 | 50°59'45.2" 21°44'36.6" |
| 2 | GKP w odległości 30m od anteny sektorowej az. 30° | 0.3-2.0 | <1.0* | 1.6 | 0.06 | 50°59'45.6" 21°44'37.3" |
| 3 | GKP w odległości 50m od anteny sektorowej az. 30° | 0.3-2.0 | <1.0* | 1.6 | 0.06 | 50°59'46.3" 21°44'37.7" |
| 4 | GKP w odległości 70m od anteny sektorowej az. 30° | 0.3-2.0 | <1.0* | 1.6 | 0.06 | 50°59'46.7" 21°44'38.4" |
| 5 | GKP w odległości 90m od anteny sektorowej az. 30° | 0.3-2.0 | <1.0* | 1.6 | 0.06 | 50°59'47.4" 21°44'38.8" |
| 6 | GKP w odległości 110m od anteny sektorowej az. 30° | 0.3-2.0 | <1.0* | 1.6 | 0.06 | 50°59'47.8" 21°44'39.5" |
| 7 | GKP w odległości 10m od anteny sektorowej az. 150° | 0.3-2.0 | <1.0* | 1.6 | 0.06 | 50°59'44.2" 21°44'36.6" |
| 8 | GKP w odległości 30m od anteny sektorowej az. 150° | 0.3-2.0 | <1.0* | 1.6 | 0.06 | 50°59'43.4" 21°44'37.3" |
| 9 | GKP w odległości 50m od anteny sektorowej az. 150° | 0.3-2.0 | <1.0* | 1.6 | 0.06 | 50°59'43.1" 21°44'37.7" |
| 10 | GKP w odległości 70m od anteny sektorowej az. 150° | 0.3-2.0 | <1.0* | 1.6 | 0.06 | 50°59'42.4" 21°44'38.0" |
| 11 | GKP w odległości 90m od anteny sektorowej az. 150° | 0.3-2.0 | <1.0* | 1.6 | 0.06 | 50°59'42.0" 21°44'38.8" |
| 12 | GKP w odległości 110m od anteny sektorowej az. 150° | 0.3-2.0 | <1.0* | 1.6 | 0.06 | 50°59'41.3" 21°44'39.1" |
| 13 | GKP w odległości 10m od anteny sektorowej az. 270° | 0.3-2.0 | <1.0* | 1.6 | 0.06 | 50°59'44.9" 21°44'35.9" |
| 14 | GKP w odległości 30m od anteny sektorowej az. 270° | 0.3-2.0 | <1.0* | 1.6 | 0.06 | 50°59'44.9" 21°44'34.8" |
| 15 | GKP w odległości 50m od anteny sektorowej az. 270° | 0.3-2.0 | <1.0* | 1.6 | 0.06 | 50°59'44.9" 21°44'33.7" |
| 16 | GKP w odległości 70m od anteny sektorowej az. 270° | 0.3-2.0 | <1.0* | 1.6 | 0.06 | 50°59'44.9" 21°44'32.6" |
| 17 | GKP w odległości 90m od anteny sektorowej az. 270° | 0.3-2.0 | <1.0* | 1.6 | 0.06 | 50°59'44.9" 21°44'31.6" |
| 18 | GKP w odległości 110m od anteny sektorowej az. 270° | 0.3-2.0 | <1.0* | 1.6 | 0.06 | 50°59'44.9" 21°44'30.5" |
| 19 | GKP w odległości 19m od anteny radioliniowej az. 277° | 0.3-2.0 | <1.0* | 1.6 | 0.06 | 50°59'44.9" 21°44'35.5" |
| 20 | GKP w odległości 35m od anteny radioliniowej az. 277° | 0.3-2.0 | <1.0* | 1.6 | 0.06 | 50°59'44.9" 21°44'34.8" |
| 21 | GKP w odległości 55m od anteny radioliniowej az. 277° | 0.3-2.0 | <1.0* | 1.6 | 0.06 | 50°59'44.9" 21°44'33.7" |
| 22 | GKP w odległości 75m od anteny radioliniowej az. 277° | 0.3-2.0 | <1.0* | 1.6 | 0.06 | 50°59'44.9" 21°44'32.6" |

Sprawozdanie z badań bez pisemnej zgody laboratorium nie może być powielane inaczej niż w całości.
Wynik przedstawione w niniejszym sprawozdaniu odnoszą się wyłącznie do badanego obiektu i do warunków i konfiguracji urządzeń w dniu wykonywania pomiarów.

| | | | | | | |
|----|--|---------|-------|-----|------|----------------------------|
| 23 | GKP w odległości 95m od anteny radioliniowej az. 277° | 0.3-2.0 | <1.0* | 1.6 | 0.06 | 50°59'44.9" 21°44'31.6" |
| 24 | GKP w odległości 115m od anteny radioliniowej az. 277° | 0.3-2.0 | <1.0* | 1.6 | 0.06 | 50°59'45.2" 21°44'30.8" |
| 25 | PPP na az. 347° w odległości 43m od wieży | 0.3-2.0 | <1.0* | 1.6 | 0.06 | 50°59'46.0" 21°44'35.9" |
| 26 | PPP na az. 95° w odległości 49m od wieży | 0.3-2.0 | <1.0* | 1.6 | 0.06 | 50°59'44.2" 21°44'38.8" |
| 27 | PPP na az. 215° w odległości 38m od wieży | 0.3-2.0 | <1.0* | 1.6 | 0.06 | 50°59'43.4" 21°44'35.2" |
| - | GKP w odległości 262m od anteny sektorowej az. 30° | 0.3-2.0 | <1.0* | 1.6 | 0.06 | 50°59'52.1" 21°44'43.1" |
| - | GKP w odległości 335m od anteny sektorowej az. 30° | 0.3-2.0 | <1.0* | 1.6 | 0.06 | 50°59'54.2" 21°44'45.2" |
| - | GKP w odległości 272m od anteny sektorowej az. 150° | 0.3-2.0 | <1.0* | 1.6 | 0.06 | 50°59'37.0" 21°44'43.4" |
| - | GKP w odległości 365m od anteny sektorowej az. 150° | 0.3-2.0 | <1.0* | 1.6 | 0.06 | 50°59'34.1" 21°44'45.6" |
| - | GKP w odległości 264m od anteny sektorowej az. 270° | 0.3-2.0 | <1.0* | 1.6 | 0.06 | 50°59'44.5" 21°44'22.9" |
| - | GKP w odległości 363m od anteny sektorowej az. 270° | 0.3-2.0 | <1.0* | 1.6 | 0.06 | 50°59'44.5" 21°44'17.5" |

Pole magnetyczne (wyznaczone na podstawie pomiaru wartości natężenia pola elektrycznego)

| Nr pionu | Opis umiejscowienia pionu (punktu) pomiarowego | Wysokość pomiaru [m] | Wartość natężenia pola magnetycznego H [A/m] ¹ | Wartość natężenia pola magnetycznego powiększona o niepewność pomiaru ⁴ H [A/m] | Wskaźnikowa wartość poziomu emisji pól elektromagnetycznych WM _H ³ | Współrzędne geograficzne pionu (punktu) pomiarowego ² |
|----------|---|----------------------|---|--|--|--|
| 1 | GKP w odległości 10m od anteny sektorowej az. 30° | 0.3-2.0 | <0.003* | 0.004 | 0.06 | 50°59'45.2" 21°44'36.6" |
| 2 | GKP w odległości 30m od anteny sektorowej az. 30° | 0.3-2.0 | <0.003* | 0.004 | 0.06 | 50°59'45.6" 21°44'37.3" |
| 3 | GKP w odległości 50m od anteny sektorowej az. 30° | 0.3-2.0 | <0.003* | 0.004 | 0.06 | 50°59'46.3" 21°44'37.7" |
| 4 | GKP w odległości 70m od anteny sektorowej az. 30° | 0.3-2.0 | <0.003* | 0.004 | 0.06 | 50°59'46.7" 21°44'38.4" |
| 5 | GKP w odległości 90m od anteny sektorowej az. 30° | 0.3-2.0 | <0.003* | 0.004 | 0.06 | 50°59'47.4" 21°44'38.8" |
| 6 | GKP w odległości 110m od anteny sektorowej az. 30° | 0.3-2.0 | <0.003* | 0.004 | 0.06 | 50°59'47.8" 21°44'39.5" |
| 7 | GKP w odległości 10m od anteny sektorowej az. 150° | 0.3-2.0 | <0.003* | 0.004 | 0.06 | 50°59'44.2" 21°44'36.6" |
| 8 | GKP w odległości 30m od anteny sektorowej az. 150° | 0.3-2.0 | <0.003* | 0.004 | 0.06 | 50°59'43.4" 21°44'37.3" |
| 9 | GKP w odległości 50m od anteny sektorowej az. 150° | 0.3-2.0 | <0.003* | 0.004 | 0.06 | 50°59'43.1" 21°44'37.7" |
| 10 | GKP w odległości 70m od anteny sektorowej az. 150° | 0.3-2.0 | <0.003* | 0.004 | 0.06 | 50°59'42.4" 21°44'38.0" |
| 11 | GKP w odległości 90m od anteny sektorowej az. 150° | 0.3-2.0 | <0.003* | 0.004 | 0.06 | 50°59'42.0" 21°44'38.8" |
| 12 | GKP w odległości 110m od anteny sektorowej az. 150° | 0.3-2.0 | <0.003* | 0.004 | 0.06 | 50°59'41.3" 21°44'39.1" |
| 13 | GKP w odległości 10m | 0.3-2.0 | <0.003* | 0.004 | 0.06 | 50°59'44.9" |

Sprawozdanie z badań bez pisemnej zgody laboratorium nie może być powielane inaczej niż w całości.
Wynik przedstawione w niniejszym sprawozdaniu odnoszą się wyłącznie do badanego obiektu i do warunków i konfiguracji urządzeń w dniu wykonywania pomiarów.

| | | | | | | |
|----|--|---------|---------|-------|------|----------------------------|
| | od anteny sektorowej az. 270° | | | | | 21°44'35.9" |
| 14 | GKP w odległości 30m od anteny sektorowej az. 270° | 0.3-2.0 | <0.003* | 0.004 | 0.06 | 50°59'44.9" 21°44'34.8" |
| 15 | GKP w odległości 50m od anteny sektorowej az. 270° | 0.3-2.0 | <0.003* | 0.004 | 0.06 | 50°59'44.9" 21°44'33.7" |
| 16 | GKP w odległości 70m od anteny sektorowej az. 270° | 0.3-2.0 | <0.003* | 0.004 | 0.06 | 50°59'44.9" 21°44'32.6" |
| 17 | GKP w odległości 90m od anteny sektorowej az. 270° | 0.3-2.0 | <0.003* | 0.004 | 0.06 | 50°59'44.9" 21°44'31.6" |
| 18 | GKP w odległości 110m od anteny sektorowej az. 270° | 0.3-2.0 | <0.003* | 0.004 | 0.06 | 50°59'44.9" 21°44'30.5" |
| 19 | GKP w odległości 19m od anteny radioliniowej az. 277° | 0.3-2.0 | <0.003* | 0.004 | 0.06 | 50°59'44.9" 21°44'35.5" |
| 20 | GKP w odległości 35m od anteny radioliniowej az. 277° | 0.3-2.0 | <0.003* | 0.004 | 0.06 | 50°59'44.9" 21°44'34.8" |
| 21 | GKP w odległości 55m od anteny radioliniowej az. 277° | 0.3-2.0 | <0.003* | 0.004 | 0.06 | 50°59'44.9" 21°44'33.7" |
| 22 | GKP w odległości 75m od anteny radioliniowej az. 277° | 0.3-2.0 | <0.003* | 0.004 | 0.06 | 50°59'44.9" 21°44'32.6" |
| 23 | GKP w odległości 95m od anteny radioliniowej az. 277° | 0.3-2.0 | <0.003* | 0.004 | 0.06 | 50°59'44.9" 21°44'31.6" |
| 24 | GKP w odległości 115m od anteny radioliniowej az. 277° | 0.3-2.0 | <0.003* | 0.004 | 0.06 | 50°59'45.2" 21°44'30.8" |
| 25 | PPP na az. 347° w odległości 43m od wieży | 0.3-2.0 | <0.003* | 0.004 | 0.06 | 50°59'46.0" 21°44'35.9" |
| 26 | PPP na az. 95° w odległości 49m od wieży | 0.3-2.0 | <0.003* | 0.004 | 0.06 | 50°59'44.2" 21°44'38.8" |
| 27 | PPP na az. 215° w odległości 38m od wieży | 0.3-2.0 | <0.003* | 0.004 | 0.06 | 50°59'43.4" 21°44'35.2" |
| - | GKP w odległości 262m od anteny sektorowej az. 30° | 0.3-2.0 | <0.003* | 0.004 | 0.06 | 50°59'52.1" 21°44'43.1" |
| - | GKP w odległości 335m od anteny sektorowej az. 30° | 0.3-2.0 | <0.003* | 0.004 | 0.06 | 50°59'54.2" 21°44'45.2" |
| - | GKP w odległości 272m od anteny sektorowej az. 150° | 0.3-2.0 | <0.003* | 0.004 | 0.06 | 50°59'37.0" 21°44'43.4" |
| - | GKP w odległości 365m od anteny sektorowej az. 150° | 0.3-2.0 | <0.003* | 0.004 | 0.06 | 50°59'34.1" 21°44'45.6" |
| - | GKP w odległości 264m od anteny sektorowej az. 270° | 0.3-2.0 | <0.003* | 0.004 | 0.06 | 50°59'44.5" 21°44'22.9" |
| - | GKP w odległości 363m od anteny sektorowej az. 270° | 0.3-2.0 | <0.003* | 0.004 | 0.06 | 50°59'44.5" 21°44'17.5" |

GKP – Główny Kierunek Pomiarowy
PPP – Pomocniczy Pion pomiarowy

¹ wyniki oznaczone * są wynikami poniżej czułości zestawu pomiarowego

² współrzędne geograficzne pozyskane metodą pomiaru bezpośredniego

³ do wyznaczenia wartości wskaźnikowej W_{ME} i W_{MH} przyjęto na podstawie uzgodnień z klientem oraz rozpoznania źródeł, jako wartości dopuszczalne pola elektrycznego i magnetycznego odpowiednio 28 V/m i 0,073 A/m.

⁴ do wyznaczenia niepewności dla wyników poniżej czułości zestawu pomiarowego, przyjęto niepewność dla minimalnej wartości z zakresu pomiarowego.

⁵ maksymalna wartość chwilowa

Niepewność oszacowano zgodnie z dokumentem P-03 „Procedura nadzoru nad wyposażeniem” w postaci niepewności rozszerzonej wynikającej z niepewności standardowej pomnożonej przez współczynnik rozszerzenia $k=2$.

Całkowita szacowana niepewność rozszerzona składowej E wynosi odpowiednio: 58.1% dla częstotliwości do 60 GHz

Sprawozdanie z badań bez pisemnej zgody laboratorium nie może być powielane inaczej niż w całości.
Wynik przedstawione w niniejszym sprawozdaniu odnoszą się wyłącznie do badanego obiektu i do warunków i konfiguracji urządzeń w dniu wykonywania pomiarów.

Umiejscowienie pionów (punktów) pomiarowych przedstawiono w nr 2 do niniejszego sprawozdania.

10. Omówienie wyników pomiarów

W związku z tym, że żadna z wartości zmierzonych, udokumentowanych w tabelach w pkt. 9, uzyskanych w skutek zastosowania pomiaru szerokopasmowego, powiększonego o rozszerzoną niepewność pomiaru U dla współczynnika rozszerzenia $k = 2$ nie przekroczyła 70% najniższej dopuszczalnej wartości składowej elektrycznej lub magnetycznej pola dla objętych pomiarami zakresów częstotliwości, nie uwzględnia się poprawek pomiarowych.

W wyniku zastosowania sposobu sprawdzenia dotrzymania dopuszczalnych poziomów pól elektromagnetycznych w środowisku, zgodnie pkt 25 ppkt 1 Rozporządzenia Ministra Klimatu z dnia 17 lutego 2020 r. (Dz. U. 2020, poz. 258 z późn. zm. w Dz.U. 2022 poz. 1121), w związku z tym, że żadna z wartości wskaźnikowych, udokumentowanych w tabelach w pkt. 9 nie przekracza wartości 1, stwierdza się, że w miejscach, w których wykonano pomiary w otoczeniu instalacji radiokomunikacyjnej 2842 (24103N!) TARLOW (KTB_TARLOW_TARLOW), dopuszczalne poziomy pól elektromagnetycznych w środowisku należy uznać za dotrzymane.

11. Podstawa prawna

- 1) Ustawa z dnia 27 kwietnia 2001 r. Prawo ochrony środowiska (t. j. Dz. U. z 2021 r., poz. 1973 z późn.zm.)
- 2) Rozporządzenie Ministra Zdrowia z dnia 17 grudnia 2019 r. w sprawie dopuszczalnych poziomów pól elektromagnetycznych w środowisku (Dz. U. 2019, poz. 2448)
- 3) Rozporządzenie Ministra Klimatu z dnia 17 lutego 2020 r. w sprawie sposobów sprawdzania dotrzymania dopuszczalnych poziomów pól elektromagnetycznych w środowisku (Dz. U. 2020, poz. 258 z późn. zm. w Dz.U. 2022 poz. 1121),
- 4) Akredytacja nr AB 419 wydana przez Polskie Centrum Akredytacji (wydanie 20, z dnia 10 czerwca 2022r.).

12. Spis załączników

Załącznik 1. Lokalizacja obiektu badań
Załącznik 2. Usytuowanie pionów (punktów) pomiarowych
Załącznik 3. Dokumentacja fotograficzna obiektu badań

13. Data wydania i autoryzowania sprawozdania

Obliczenia i sprawozdanie wykonał :

Sprawozdanie autoryzował:

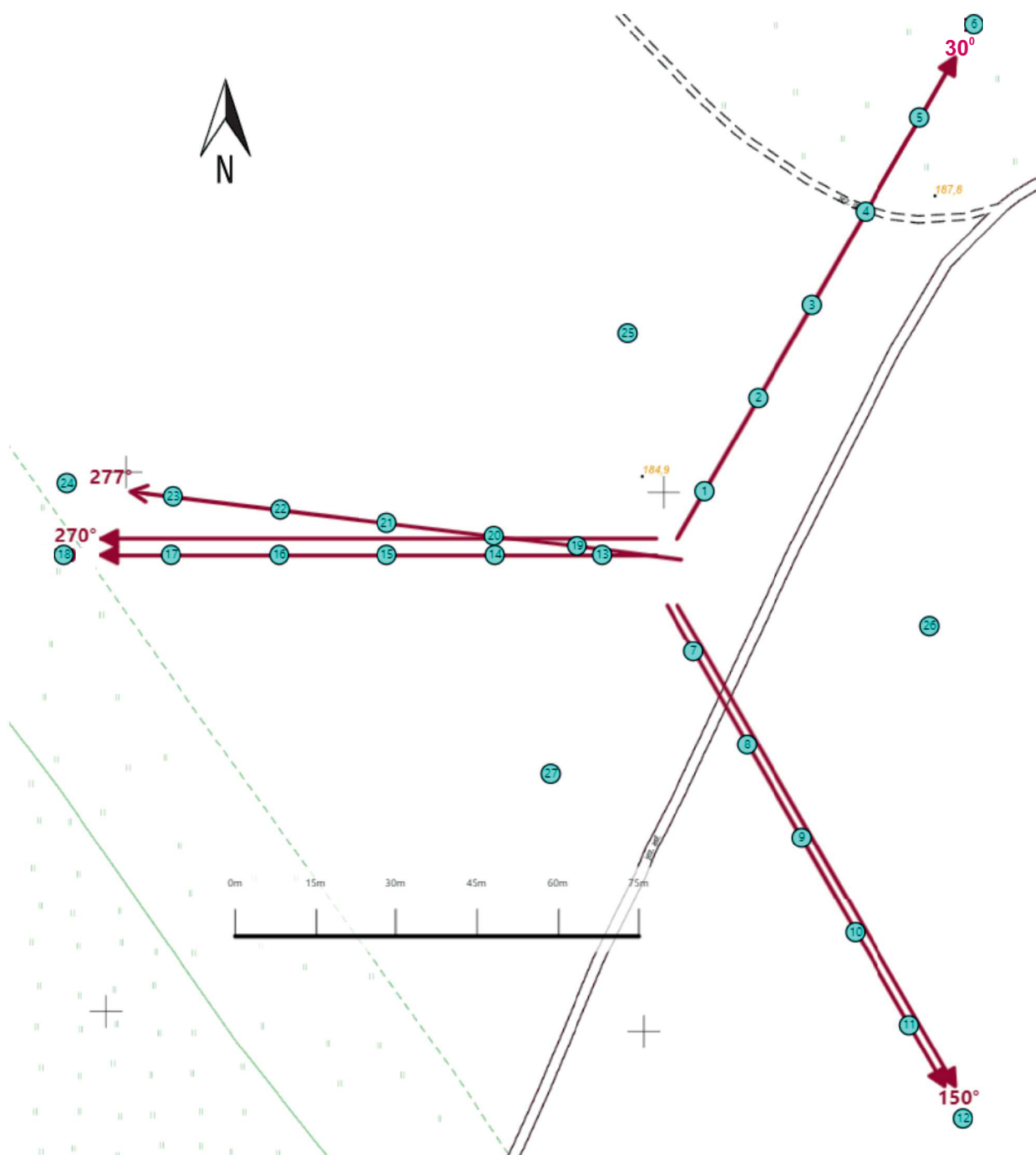
Koniec sprawozdania




Sprawozdanie z badań bez pisemnej zgody laboratorium nie może być powielane inaczej niż w całości.
Wynik przedstawione w niniejszym sprawozdaniu odnoszą się wyłącznie do badanego obiektu i do warunków i konfiguracji urządzeń w dniu wykonywania pomiarów.



Załącznik nr 1

INSTALACJA RADIOKOMUNIKACYJNA Orange Polska S.A. 2842 (24103N!) TARLOW (KTB_TARLOW_TARLOW)
Lokalizacja instalacji radiokomunikacyjnej



| | |
|----------------|--|
| Załącznik nr 2 | <p>Instalacja radiokomunikacyjna Orange Polska S.A. KTB_TARLOW_TARLOW (24103N!)</p> <p>Usytuowanie pionów pomiarowych w otoczeniu instalacji radiokomunikacyjnej</p> |
| | <p>Legenda:</p> <div style="display: flex; justify-content: space-around; align-items: center;"> <div style="text-align: center;">  <p>Pion pomiarowy</p> </div> <div style="text-align: center;">  <p>Kierunek oddziaływania anten sektorowych</p> </div> <div style="text-align: center;">  <p>Kierunek oddziaływania anten radioliniowych</p> </div> </div> |



Załącznik nr 3

INSTALACJA RADIOKOMUNIKACYJNA Orange Polska S.A. 2842 (24103N!) TARLOW (KTB_TARLOW_TARLOW)
Zdjęcia instalacji radiokomunikacyjnej